

ОБОБЩЕНОМРЕЖОВ МОДЕЛ  
НА ПРОЦЕСА НА ИЗВЛИЧАНЕ НА АСОЦИАТИВНИ ПРАВИЛА  
ЧРЕЗ FREQUENT PATTERN-GROWTH АЛГОРИТЪМ

Веселина Бурева<sup>1</sup>, Евдокия Сотирова<sup>1</sup>, Красимир Атанасов<sup>1,2</sup>

<sup>1</sup> Университет „Проф. д-р Асен Златаров“, гр. Бургас

<sup>2</sup> Институт по биофизика и биомедицинско инженерство, БАН  
e-mail: esotirova@btu.bg, vesito\_ka@abv.bg, krat@bas.bg

**Резюме:** Чрез извличането на знания се откриват предварително недефинирани зависимости и скрити закономерности в големи масиви и потоци от данни. За целта се използват различни техники, например асоциативни правила, дървета на решенията, невронни мрежи, клъстерен анализ [4]. В настоящата работа се разглежда генерирането на асоциативни правила чрез алгоритъм *Frequent Pattern-Growth*, който компресира максимално входните данни. За моделирането на процеса е използван апарата на обобщените мрежи.

**Ключови думи:** Обобщени мрежи, Асоциативен анализ, Извличане на знания от данни

## 1. Въведение

Асоциативните правила представят зависимостите между елементите в едно множество. Те се записват във формата  $A \Rightarrow B$ , където  $A$  и  $B$  са два независими елемента. Най-използваните критерии за избор на асоциативни правила са *подкрепа* (*support*), *доверие* (*confidence*) и *лифт* (*lift*) [5]:

$$\text{support}(A \Rightarrow B) = P(A \cup B)$$

$$\text{confidence}(A \Rightarrow B) = P(B|A) = \frac{P(A \cup B)}{P(A)}$$

$$\text{lift}(A \Rightarrow B) = \frac{\text{confidence}(A \Rightarrow B)}{P(B)} = \frac{P(A \cup B)}{P(A)P(B)}$$

Алгоритъмът, конструиращ *Frequent pattern tree*, не се нуждае от създаването на всички възможни кандидат-множества на елементите, за да извлече асоциативните

правила. Той представя входните данни в компресиран вид [3]. Конструира се чрез сканиране на транзакциите една по една и записването им като пътища в дървото. За конструирането му са необходими само две преминавания през данните. Алгоритъмът обработва дървото по рекурсивен начин. При нанасянето на транзакциите по дървото, ако са налични едни и същи елементи в транзакциите, то техните пътища се припокриват. По този начин се получава по-кратко представяне на входната информация.

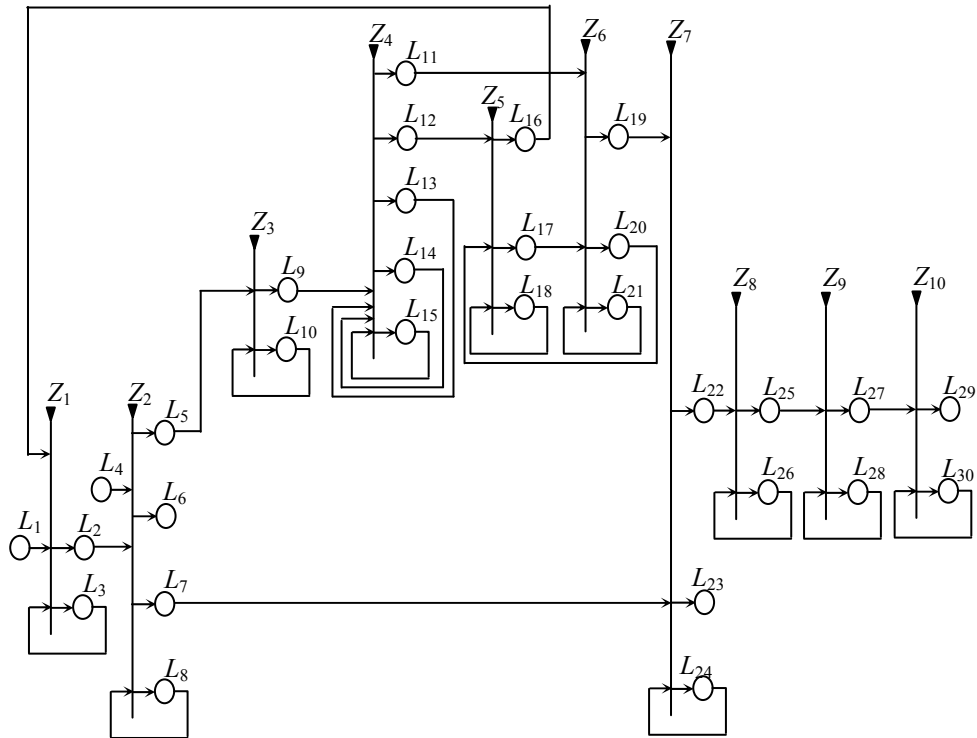
## 2. Обобщена мрежа на процеса на създаване на асоциативни правила

Теорията на обобщените мрежи е описана в [1, 2]. Чрез нея са конструирани редица модели от областта на извличането на знания от данни (Data Mining) [6, 7, 8, 9, 10]. Обобщеномрежовият модел, описващ процеса на генериране на асоциативни правила чрез *Frequent Pattern-Growth*, е показан на Фиг. 1. Алгоритъмът конструира *Frequent Pattern Tree (Fp-Tree)*, като значително намалява обема на входните данни. Конструиранието на *Fp-Tree* е разделено на три по-важни стъпки:

1. Сканират се входните данни, за да се определи поддръжката за всеки елемент, отхвърлят се нечестите елементи, а честите се сортират в низходящ ред (във вид на списък);
2. За втори път се сканират входните данни, като на тази стъпка транзакциите се нанасят една по една като пътища на *Fp-Tree* като:
  - Сортират се елементите в транзакцията в съответствие със списъка с честите елементи;
  - Ако има възел, съответстващ на обработвания елемент, тогава се увеличава броячът на възела и се изгражда пътят;
  - Ако няма такъв възел (уникална транзакция), се формира нов и се задава брояч със стойност 1.
3. Това се повтаря докато всяка транзакция бъде изобразена на дървото.

Възлите на *Fp-Tree* отговарят на елементите от транзакциите и имат броячи, равни на броя срещания на елемента в транзакциите. Възможно е дървото да има свързващи връзки, които посочват еднаквите елементи в различните пътища. Колкото повече пътища се припокриват, толкова по-висока е компресията на данните. *Fp-Growth* извлича честите елементи "отдолу-нагоре" по дървото. Първоначално се извличат пътищата до поддърветата, завършващи на определен елемент. Всеки извлечен път се обработва рекурсивно до извличането на честите единични елементи. От дървото с пътищата се съставя условно дърво за елемента, като за целта се актуализира подкрепата на елементите и съответно брояча на възлите. Ако са налични пътища с елементи, неудовлетворяващи вече тази подкрепа, то те се изрязват. Премахват се и възлите съдържащи определения елемент. От условното дърво се извличат честите подмножества на елемента.

Обобщената мрежа има 10 прехода и 30 позиции (Фиг. 1). Преходите описват следните процеси:



Фиг. 1 Обобщеномрежов модел, описващ генерирането на асоциативни правила чрез алгоритъм *Fp-Tree*

- $Z_1$  – постъпване на транзакции в хранилището,
- $Z_2$  – задаване на поддръжка (честота),
- $Z_3$  – сортиране на елементите в транзакциите по низходящ ред,
- $Z_4$  – конструиране на *Fp-Tree*,
- $Z_5$  – обхождане на *Fp-Tree* "отдолу - нагоре",
- $Z_6$  – съставяне на дърво с възможните пътища до елемент,
- $Z_7$  – записване на списък с пътищата до елемент (*F-List*),
- $Z_8$  – съставяне на условно дърво (*Fp-Growth*),
- $Z_9$  – рекурсивно извличане на честите подмножества от условното дърво (*Fp-Growth*),
- $Z_{10}$  – запис на честите елементи и техните подмножества.

Първоначално в обобщената мрежа в позиция  $L_3$  има  $\alpha_1$ -ядро с характеристика „Хранилище с данни“. То ще стои там по време на работата на обобщената мрежа, като в определени времеви моменти може да генерира нови  $\alpha$ -ядра, които ще се придвижат до прехода  $Z_2$ .

През позиция  $L_1$  в обобщената мрежа постъпват  $\alpha_0$ -ядра с характеристика „Транзакции“.

Преходът  $Z_1$  има следната форма:

$$Z_1 = \langle \{L_1, L_3, L_{16}\}, \{L_2, L_3\}, R_1, \vee(L_1, L_3, L_{16}) \rangle,$$

където:

$$R_1 = \begin{array}{c|cc} & L_2 & L_3 \\ \hline L_1 & false & true \\ L_3 & W_{3,2} & true \\ L_{16} & false & true \end{array},$$

и  $W_{3,2} =$  „определени са транзакции за намиране на чести и нечести елементи“.

$\alpha_0$ -ядрата, постъпващи от позиция  $L_1$  се слива с  $\alpha_1$ -ядрото в позиция  $L_3$ .  $\alpha_1$ -ядрото в позиция  $L_3$  генерира ново  $\alpha_2$ -ядро, което постъпва в позиция  $L_2$  с характеристика: „Транзакции за намиране на чести (удовлетворяващи поддръжката) и нечести (неудовлетворяващи поддръжката) елементи“.

През позиция  $L_4$  в обобщената мрежа постъпва  $\beta$ -ядро с характеристика „поддръжка (честота) за транзакции“.

Преходът  $Z_2$  има следната форма:

$$Z_2 = \langle \{L_2, L_4, L_8\}, \{L_5, L_6, L_7, L_8\}, R_2, \vee(\wedge(L_2, L_4), L_8) \rangle,$$

където:

$$R_2 = \begin{array}{c|cccc} & L_5 & L_6 & L_7 & L_8 \\ \hline L_2 & false & false & false & true \\ L_4 & false & false & false & true \\ L_8 & W_{8,5} & W_{8,6} & W_{8,7} & W_{8,8} \end{array},$$

- $W_{8,5} =$  „определени са честите елементи за сортиране в транзакциите“;
- $W_{8,6} =$  „определени са елементите, неудовлетворили поддръжката (нечестите елементи)“;
- $W_{8,7} =$  „определени са елементите, удовлетворили поддръжката (честите елементи) за проверка при записване на списъка с пътищата до чест елемент (F-list)“;
- $W_{8,8} = \neg(W_{8,5} \wedge W_{8,6} \wedge W_{8,7})$ .

$\alpha_2$ - и  $\beta$ -ядрата, постъпващи от позиции  $L_2$  и  $L_4$  не получават нови характеристики в позиция  $L_8$ .  $\alpha_3$ -ядрото в позиция  $L_8$  генерира  $\alpha_4$ -,  $\alpha_5$ - и  $\alpha_6$ -ядра, които постъпват в позиции  $L_5$ ,  $L_6$  и  $L_7$  с характеристики, съответно: „Чести елементи (елементи, удовлетворили минималната поддръжка)“ в позиция  $L_5$ , „Нечести елементи (елементи, неудовлетворили минималната поддръжка)“ в позиция  $L_6$ , и „Чести елементи (елементи, удовлетворили минималната поддръжка) за проверка при записване на списъка с пътищата до чест елемент (F-list)“ в позиция  $L_7$ .

Преходът  $Z_3$  има следния вид:

$$Z_3 = \langle \{L_5, L_{10}\}, \{L_9, L_{10}\}, R_3, \vee(L_5, L_{10}) \rangle,$$

където:

$$R_3 = \frac{\quad}{\begin{array}{c|cc} & L_9 & L_{10} \\ \hline L_5 & false & true \\ L_{10} & W_{10,9} & W_{10,10} \end{array}},$$

- $W_{10,9}$  = „сортирани са елементи, удовлетворили минималната подкрепа в низходящ ред“;
- $W_{10,10} = \neg W_{10,9}$ .

$\alpha_4$ -ядрото (от позиция  $L_5$ ) не получава нова характеристика в позиция  $L_{10}$ . То генерира  $\alpha_5$ -ядро, което постъпва в позиция  $L_9$  с характеристика „Сортирани елементи (удовлетворили минималната поддръжка) в низходящ ред“.

Преходът  $Z_4$  има следната форма:

$$Z_4 = \langle \{L_9, L_{13}, L_{14}, L_{15}\}, \{L_{11}, L_{12}, L_{13}, L_{14}, L_{15}\}, R_4, \vee(L_9, L_{13}, L_{14}, L_{15}) \rangle,$$

където:

$$R_4 = \frac{\quad}{\begin{array}{c|ccccc} & L_{11} & L_{12} & L_{13} & L_{14} & L_{15} \\ \hline L_9 & false & false & false & false & true \\ L_{13} & false & false & false & false & true \\ L_{14} & false & false & false & false & true \\ L_{15} & W_{15,11} & W_{15,12} & W_{15,13} & W_{15,14} & W_{15,15} \end{array}},$$

- $W_{15,11} = W_{15,12}$  = „Съставено е *FP-tree*“;
- $W_{15,13}$  = „построен е пътя за транзакция, увеличен е брояча и са построени връзките между еднаквите обекти“;
- $W_{15,14}$  = „позицията  $L_{15}$  не е празна и е построен главен възел *Null*“;
- $W_{15,15} = \neg W_{15,11}$ .

При първото активиране на преход  $Z_4$  в позиция  $L_{15}$  (от позиция  $L_9$ ) постъпва  $\alpha_5$ -ядро без да получава нова характеристика. При следващото активиране на прехода  $Z_4$   $\alpha_5$ -ядрото в позиция  $L_{15}$  генерира  $\alpha_6$ -ядро, постъпващо в позиция  $L_{14}$  с характеристика „Главен възел *Null*“.

При следващото активиране на прехода  $Z_4$   $\alpha_5$ -ядрото от позиция  $L_{15}$  генерира  $\alpha_7$ -ядро, постъпващо в позиция  $L_{13}$  с характеристика „Построен път за транзакция, увеличен брояч, създадени връзки между еднаквите елементи“.

При следващото активиране на прехода  $Z_4$   $\alpha_5$ -ядрото от позиция  $L_{15}$  генерира  $\alpha_8$ - и  $\alpha_9$ -ядра, които постъпват в позиции  $L_{11}$  и  $L_{12}$  с характеристика „*FP-tree*“.

Преходът  $Z_5$  има следната форма:

$$Z_5 = \langle \{L_{12}, L_{18}, L_{20}\}, \{L_{16}, L_{17}, L_{18}\}, R_5, \vee(L_{12}, L_{18}, L_{20}) \rangle,$$

където:

$$R_5 = \frac{\quad}{\begin{array}{c|ccc} & L_{16} & L_{17} & L_{18} \\ \hline L_{12} & false & false & true \\ L_{18} & W_{18,16} & W_{18,17} & W_{20,18} \\ L_{20} & false & false & true \end{array}},$$

- $W_{18,16}$  = „Списъкът с елементи на текущото *FP-tree* е празен“;
- $W_{18,17}$  = „Избран е елемент“;
- $W_{19,19} = \neg W_{19,16}$ .

$\alpha_8$ -ядрото, постъпващо в позиция  $L_{18}$ , не получава нова характеристика. То генерира  $\alpha_{10}$ - и  $\alpha_{11}$ -ядра, постъпващи в позиции  $L_{16}$  и  $L_{17}$  със следните характеристики: „Връщане към хранилището с данни“ в позиция  $L_{16}$ , и „Избран елемент“ в позиция  $L_{17}$ .

Преходът  $Z_6$  има следната форма:

$$Z_6 = \langle \{L_{11}, L_{17}, L_{21}\}, \{L_{19}, L_{20}, L_{21}\}, R_6, \vee(L_{11}, L_{17}, L_{21}) \rangle,$$

където:

$$R_6 = \begin{array}{c|ccc} & L_{19} & L_{20} & L_{21} \\ \hline L_{11} & false & false & true \\ L_{17} & false & false & true \\ L_{21} & W_{21,19} & W_{21,20} & W_{21,21} \end{array},$$

- $W_{21,19}$  = „съставено е дървото с възможните пътища за избрания елемент“;
- $W_{21,20}$  = „необходим е избор на следващ елемент“;
- $W_{21,21}$  =  $\neg W_{21,19}$ .

$\alpha_9$ -ядрото, постъпващо в позиция  $L_{21}$ , не получава нова характеристика. То генерира  $\alpha_{12}$ - и  $\alpha_{13}$ -ядра, постъпващи в позиции  $L_{19}$  и  $L_{20}$  със следните характеристики: „Дърво с пътищата за избрания елемент“ в позиция  $L_{19}$  и „Избор на следващ елемент“ в позиция  $L_{20}$ .

Преходът  $Z_7$  има следната форма:

$$Z_7 = \langle \{L_{19}, L_7, L_{24}\}, \{L_{22}, L_{23}, L_{24}\}, R_7, \vee(L_{24}, \wedge(L_7, L_{19})) \rangle,$$

където:

$$R_7 = \begin{array}{c|ccc} & L_{22} & L_{23} & L_{24} \\ \hline L_7 & false & false & true \\ L_{19} & false & false & true \\ L_{24} & W_{24,22} & W_{24,23} & W_{24,24} \end{array},$$

- $W_{24,22}$  = „Елементът удовлетворява минималната поддръжка“;
- $W_{24,23}$  =  $\neg W_{24,22}$ ;
- $W_{24,24}$  = „има още елементи за проверка на поддръжката“.

$\alpha_6$ - и  $\alpha_{12}$ -ядрата, постъпващи в позиция  $L_{24}$  се сливат в  $\alpha_{14}$ -ядро с характеристика „Главен възел Null, дърво с пътищата за избрания елемент“.

$\alpha_{14}$ -ядрото генерира  $\alpha_{15}$ - и  $\alpha_{16}$ -ядра, постъпващи в позиции  $L_{22}$  и  $L_{23}$  със следните характеристики: „Елемент, удовлетворяващ минималната поддръжка (чет елемент)“ в позиция  $L_{22}$  и „Елемент, неудовлетворяващ минималната поддръжка (нечет елемент)“ в позиция  $L_{23}$ .

Преходът  $Z_8$  има следната форма:

$$Z_8 = \langle \{L_{22}, L_{26}\}, \{L_{25}, L_{26}\}, R_8, \vee(L_{22}, L_{26}) \rangle,$$

където:

$$R_8 = \begin{array}{c|cc} & L_{25} & L_{26} \\ \hline L_{22} & false & true \\ L_{26} & W_{26,25} & W_{26,26} \end{array},$$

- $W_{26,25}$  = „съставено е условно дърво за елемент“;
- $W_{26,26}$  =  $\neg W_{26,25}$ .

$\alpha_{15}$ -ядрото, постъпващо в позиция  $L_{26}$ , не получава нова характеристика. То генерира  $\alpha_{16}$ -ядро, постъпващо в позиция  $L_{25}$  с характеристика „Условно дърво за елемент“.

Преходът  $Z_9$  има следната форма:

$$Z_9 = \langle \{L_{25}, L_{28}\}, \{L_{27}, L_{28}\}, R_9, \vee(L_{25}, L_{28}) \rangle,$$

където:

$$R_9 = \begin{array}{c|cc} & L_{27} & L_{28} \\ \hline L_{25} & false & true \\ \hline L_{28} & W_{28,27} & W_{28,28} \end{array},$$

- $W_{28,27} =$  „извлечени са подмножествата на чест елемент“;
- $W_{28,28} = \neg W_{28,27}$ .

$\alpha_{16}$ -ядрото, постъпващо в позиция  $L_{28}$ , не получава нова характеристика. То генерира  $\alpha_{17}$ -ядро, постъпващо в позиция  $L_{27}$  с характеристика „Подмножества на чест елемент“.

Преходът  $Z_{10}$  има следната форма:

$$Z_{10} = \langle \{L_{27}, L_{30}\}, \{L_{29}, L_{30}\}, R_{10}, \vee(L_{27}, L_{30}) \rangle,$$

където:

$$R_{10} = \begin{array}{c|cc} & L_{29} & L_{30} \\ \hline L_{27} & false & true \\ \hline L_{30} & W_{30,29} & W_{30,30} \end{array},$$

- $W_{30,30} =$  „има необработени елементи“;
- $W_{30,29} = \neg W_{30,30}$ .

$\alpha_{17}$ -ядрото, постъпващо в позиция  $L_{30}$ , не получава нова характеристика. То генерира  $\alpha_{18}$ -ядро, постъпващо в позиция  $L_{29}$  с характеристика „Асоциативно правило“.

### 3. Заключение

Обобщеномрежовият модел за процеса на съставяне на асоциативни правила чрез метода *Frequent Pattern-Growth* е вторият, който е разработен след модела за извличане на асоциативни правила чрез алгоритъм *Apriori* [7]. Предимството от генерирането на асоциативни правила чрез *FP-Growth* е неговото бързодействие, тъй като не се нуждае от съставяне на всички възможни кандидати (кандидат-множества на елементите). Недостатък на алгоритъма е необходимостта от голямо количество памет, поради рекурсивното обхождане на дървото.

### Литература

- [1] Atanassov, K. *Generalized Nets*, World Scientific. Singapore, 1991.
- [2] Atanassov, K. *On Generalized Nets Theory*, “Prof. M. Drinov” Academic Publishing House, Sofia, 2007.

- [3] Kantardzic, M. *Data Mining: Concepts, Models, Methods, and Algorithms*, John Wiley & Sons, 2003.
- [4] Sumathi, S., S. N. Sivanandam. *Introduction to Data Mining and Its Applications*, Springer, 2006.
- [5] Zhao Y., *R and Data Mining: Examples and Case Studies 1*, Elsevier Inc., 2012.
- [6] Bureva, V., P. Chountas, K. Atanasov, A generalized net model of the process of decision tree construction, *Proc. of 13<sup>th</sup> Int. Workshop on Generalized Nets*, London, 29 October 2012, 1–7.
- [7] Бурева В., Обобщеномрежов модел на процеса на създаване на асоциативни правила, *Годишник на секция “Информатика”, Съюз на учените в България*, Том 5, 2012, 73–83.
- [8] Orozova, D., E. Sotirova, Generalized net model of the applying data mining tools, *Proc. of the Tenth International Workshop on Generalized Nets*, Sofia, 2009, 22–26.
- [9] Sotirova, E., D. Orozova, Generalized net model of the phases of the data mining process, *Developments in Fuzzy Sets, Intuitionistic Fuzzy Sets, Generalized Nets and Related Topics. Vol. II: Applications*, Warsaw, Poland, 2010, 247–260.
- [10] Sotirova. E., K. Dimitrova, R. Papancheva, A Generalized Net Model for Analysis of a Student’s Evaluations by Data Mining Techniques in the e-Learning university, *Proc. of the Tenth International Workshop on Generalized Nets*, Sofia, 2009, 41–46.